Vol. 26 No. 1 Jan. 2007

文章编号:1673-1689(2007)01-0033-04

# 葡萄糖基 $(\alpha-1\rightarrow 6)$ β - 环糊精的波谱学数据与结构确证

崔波12, 金征字1, 周万里3, 毕春元3

(1. 江南大学 食品科学与安全教育部重点实验室 ,江苏 无锡 214036; 2. 山东轻工业学院 食品与生物工程学院 ,山东 济南 250010; 3. 山东科学院 山东省生物传感器重点实验室 ,山东 济南 250014)

摘 要:对酶法合成的葡萄糖基( $\alpha$ -1 $\rightarrow$ 6) $\beta$  - 环糊精的红外(IR)光谱、质谱(MS)、氢谱( $^{1}$ H-NMR)、碳谱( $^{13}$ C-NMR)、氢氢相关谱( $^{1}$ H- $^{1}$ H COSY)、氢氢完全相关谱( $^{1}$ H- $^{1}$ H TCOSY)、异核单量子相干相关谱(HSQC)和异核多键相关谱(HMBC)进行了解析报道,对所有的 $^{1}$ H-NMR和 $^{13}$ C-NMR谱进行了归属,讨论了红外特征吸收峰所对应的官能团的振动形式。

关键词:葡萄糖基( $\alpha$ -1 $\rightarrow$ 6) $\beta$ -环糊精;红外光谱;质谱 核磁共振谱中图分类号:0.657.63 文献标识码:A

## Spectral Data Analysis and Identification of Glucosyl( $\alpha$ -1 $\rightarrow$ 6 ) $\beta$ -cyclodextrin

CUI Bo<sup>1 2</sup> , JIN Zheng-Yu<sup>1</sup> , ZHOU Wan-li<sup>3</sup> , BI Chun-yuan<sup>3</sup>

(1. Key Laboratory of Food Science and Safety, Ministry of Education, Southern Youngtze University, Wuxi 214036, China; 2. College of Food and Biologic Engineering, Shandong Institute of Light Industry, Jinan 250100, China; 3. Key Laboratory for Biosensors of Shandong Province, Jinan 250014, China)

Abstract 'Glucosyl'(  $\alpha$ -1 $\rightarrow$ 6 ) $\beta$ -cyclodextrin was synthesized by enzymatic method. The infrared spectrum ( IR ) , mass spectrometetry( MS ) ,  $^1$ H nuclear magnetic resonance(  $^1$ H-NMR ) ,  $^1$ C nuclear magnetic resonance(  $^1$ SC-NMR ) ,  $^1$ H- $^1$ H correlated spectroscopy(  $^1$ H- $^1$ H COSY ) ,  $^1$ H- $^1$ H total correlated spectroscopy(  $^1$ H- $^1$ H TCOSY ) ,(  $^1$ H detected ) heteronuclear single quantum coherence( HSQC ) ,and(  $^1$ H detected ) heteronuclear multiple bond coherence( HMBC ) of Glucosyl'(  $\alpha$ -1 $\rightarrow$ 6 ) $\beta$ -cyclodextrin were investigated and interpreted. All the  $^1$ H-NMR and  $^{13}$ C-NMR chemical shifts were assigned by means of  $^1$ H- $^1$ H COSY ,  $^1$ H- $^1$ H TCOSY , HSQC and HMBC. The vibrations of functional groups of this compound were also discussed.

Key words: glucosyl( $\alpha$ -1 $\rightarrow$ 6) $\beta$ -cyclodextrin; infrared spectrum; mass spectrometetry; nuclear magnetic resonance

收稿日期 2006-04-25.

基金项目 :江苏省自然科学基金(BK2004018)和山东省自然科学基金项目(Y2005B11).

作者简介:崔波(1971-)男,山东诸城人,副教授,食品科学与工程博士研究生. Email :cuiborr@ hotmail. com

通讯作者 金征宇(1960-) 男 江苏扬州人 工学博士 教授 博导. 主要从事碳水化合物的研究. Email zijin@ sytu.

环状糊精是由淀粉通过葡萄糖基转移酶合成的  $\alpha-1$  A 糖苷键连接的环状麦芽低聚糖。根据葡萄糖残基的个数 ,分别称为  $\alpha$ -CD、 $\beta$ -CD、 $\gamma$ -CD。环糊精的空间结构呈中空的锥形圆筒状 ,具有疏水性 ,可以与化合物形成包合物 ,空腔外由于羟基种殊结构 ,使环糊精在手性分离、分子识别、模拟和超分子化学等领域有很高的研究应用价值 ,在食品、医药、分析检测、农药和精细化工等 ,分析检测、农药和精细化工等 ,分析检测、农药和精明的是诱人。环状糊精最常用的是诱人。环状糊精最常用的是诱人。环状糊精最常用的是顶上的应用前景更是诱人。环状糊精最常用的是顶上的应用,使其应用受到限制。通过环糊精分子的亲水区 ,可以改善环糊精的溶解性。开发高水溶性的环糊精产品成为近年来国内外研究的一大热点。

葡萄糖基( $\alpha$ -1 $\rightarrow$ 6) $\beta$  - 环糊精就是  $\beta$  - 环糊精在其某个葡萄糖残基的第 6 位碳原子的羟基上偶联一个葡萄糖残基的衍生化产物 ,即分支环糊精。目前国内外对分支环糊精研究的报道还比较少 ,对于葡萄糖基( $\alpha$ -1 $\rightarrow$ 6) $\beta$  - 环糊精的波谱学性质 ,国内外报道更少 ,仅有少量关于利用  $^{13}$  C-NMR 鉴定环糊精衍生物结构的报道  $^{[13]}$  。 Tsukuba 对以 $\alpha$ -CD 为母体的分支环糊精的 $^{1}$  H-NMR 进行了研究  $^{[4]}$  ,但未有对葡萄糖基( $\alpha$ -1 $\rightarrow$ 6) $\beta$  - 环糊精波谱学数据的完整报道。而研究环糊精的包合作用 ,环糊精的波谱学数据非常必要。

作者通过酶法合成葡萄糖基( $\alpha$ -1 $\rightarrow$ 6)β - 环糊精,并用波谱学方法对葡萄糖基( $\alpha$ -1 $\rightarrow$ 6)β - 环糊精结构进行了鉴定,首次对其红外(IR)光谱、氢谱( $^{1}$ H-NMR)、氢氢相关谱( $^{1}$ H- $^{1}$ H COSY)、氢氢完全相关谱( $^{1}$ H- $^{1}$ H TCOSY)、异核单量子相干相关谱(HSQC)和异核多键相关谱(HMBC)进行了解析报道,并对所有的 $^{1}$ H-NMR 和 $^{13}$ C-NMR 谱进行了归属 $^{[5-7]}$ 。

# 1 材料与方法

## 1.1 仪器与试剂

高效液相色谱仪: Agilent 1000Seriesm, 检测器为 Alltech ELSD 2000ES 蒸发光散射检测器,色谱柱为 Hypersil NH<sub>2</sub>柱, Agilent 公司产品;傅立叶变换红外光谱仪(Nicolet Nexus FT-IR spectrometer): Thermo Electron 公司产品;核磁共振波谱仪: AV-400,美国 bruker 公司产品;串联质谱仪: API3000,美国 ABI 公司产品。

酸性普鲁拉等孢杆菌普鲁蓝酶,糖化酶:诺维

信公司产品 ;Glu-β-CD 标准品 :SIGMA 公司产品 ; 麦芽糖 β-环糊精 ,无水乙醇 :分析纯。

#### 1.2 样品制备

样品采用酶法合成,合成途径见图 1。以麦芽糖和环糊精为底物,利用普鲁兰酶合成麦芽糖基环糊精,然后在淀粉糖化酶的作用下,麦芽糖基环糊精水解掉一个葡萄糖,生成葡萄糖基环糊精,然后对产物进行分离纯化。

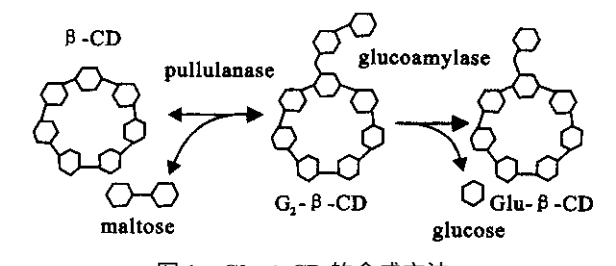


图 1 Glu-β-CD 的合成方法

## Fig. 1 Methods to produce Glu-β-CD

## 2 结果与讨论

## 2.1 纯度测定

对纯化后的样品进行 HPLC 分析 ,结果表明纯度大于 99% 符合结构鉴定所需纯度。

## 2.2 红外光谱

样品 Glu-β-CD 的红外谱光中( 见图 2 )  $_3$  415  $cm^{-1}$  为糖类 O-H 的伸缩振动 ,存在分子内氢键 , 2 926  $cm^{-1}$  为糖类 C-H 的伸缩振动 ,1 402  $cm^{-1}$  为糖类 C-O-H 的弯曲振动 ,1 156  $cm^{-1}$  为吡喃糖环内醚的 C-O-C 伸缩振动 ,1 079  $cm^{-1}$  为吡喃环的 C-O-H 伸缩振动 ,945  $cm^{-1}$  、703  $cm^{-1}$  和 576  $cm^{-1}$  是包括 α-1 β 在内的环糊精骨架振动 ,1 027  $cm^{-1}$  为 C-H 的伸缩振动 ,833  $cm^{-1}$  为吡喃糖的 α 型 C-H 弯曲振动的特征峰 表明所含糖全都为 α 构型。

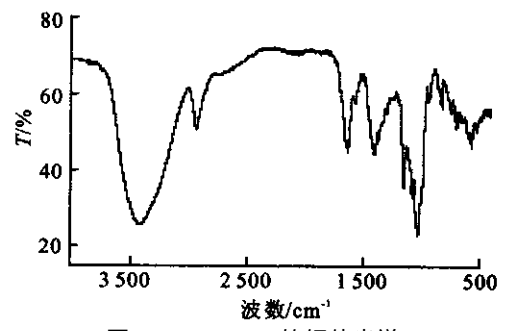


图 2 Glu-β-CD 的红外光谱

Fig. 2 IR spectra of Glu-β-CD

#### 2.3 质谱

样品的电喷雾电离质谱( ESI-MS ) 见图 3 )显示 ;样品与  $NH_{4+}$ 、 $Na^+$ 及  $H^+$ 分别形成的准分子离子 [  $M + NH_4$  ]  $^+$ 和[ M + Na ]  $^+$ 以及[ M + H ]  $^+$ 的 m/z 分

别为 1 315. 0、1 320. 2 和 1 298. 0 样品相对分子质量为1 297 ,与理论计算所得到的 Glu-β-CD 的相对分子质量一致。

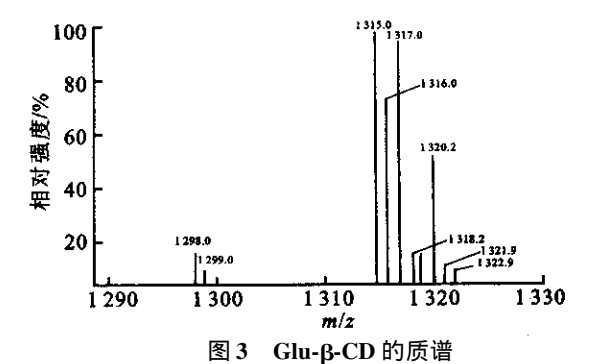
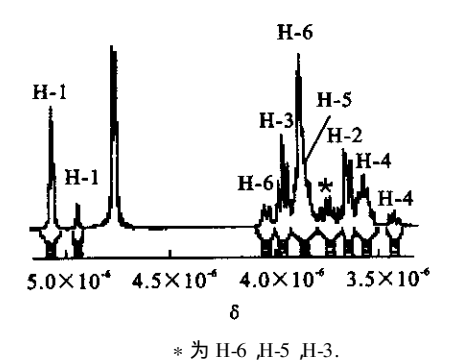


Fig. 2 MS spectrum of Glu-β-CD

## 2.4 核磁共振谱

2.4.1  $^{1}$ H-NMR 谱 考察 GCD 的结构 ,依次命名 为葡萄糖残基  $^{1}$ A-R ,其中葡萄糖残基  $^{1}$ R 与其他葡萄糖残基的差异较大 ,葡萄糖残基  $^{1}$ A 的  $^{1}$ C-6 与其他糖 残基差异较大 ,葡萄糖残基  $^{1}$ R 的  $^{1}$ C-4 是游离的。

 $^{1}$ H-NMR 谱( 见图 4 )显示出两种糖的异头质子的化学位移 δ 分别为 4. 94 和 5. 06 ,分别归属于葡萄糖残基 R 的 H-1 和葡萄糖残基( A-G )的 H-1。根据化学位移( 大于 4. 8 )可判定 R 和 A-G 的异头质子都为  $\alpha$  型。两种信号面积积分比为 1: 7 ,即两种异头质子的数目比为 1: 7 ,表明化合物中葡萄糖残基有两种连接方式 ,且葡萄糖残基 R 和 A-G 的数目比为 1: 7 ,这与 Glu-Glu



**图 4 Glu-β-CD** 的氢谱

Fig. 4 <sup>1</sup>H-NMR spectrum of Glu-β-CD

2. 4. 2  $^{1}$  H- $^{1}$  H COSY 谱和 $^{1}$  H- $^{1}$  H TCOSY 谱 在  $^{1}$  H- $^{1}$  H TCOSY 谱 (图略 )中,葡萄糖残基(A-G)与葡萄糖残基 R 的氢谱分属两种自旋体系,这也与 Glu-β-CD 结构中葡萄糖残基 R 以 α-1  $^{6}$  糖苷键连接到环糊精主环的结构特征相吻合。根据 $^{1}$  H- $^{1}$  H COSY 谱 (图略 )结合 $^{1}$  H- $^{1}$  H TCOSY 谱 ,由葡萄糖残基(A-G)的 H-1 入手, $^{6}$  3. 65 与(A-G)的 H-1 有耦合关系,可确定  $^{6}$  3. 65 为(A-G)的 H-2  $^{6}$  3. 96 与(A-G)的 H-2 有耦合关系,可确定  $^{6}$  3. 96 为(A-G)的 H-3,

 $\delta$  3. 55 与(A-G)的 H-3 有耦合关系,可确定  $\delta$  3. 55 为(A-G)的 H-4  $\delta$  3. 83 与(A-G)的 H-4 有耦合关系,可确定  $\delta$  3. 83 为(A-G)的 H-5。由葡萄糖残基 R 的 H-1 入手  $\delta$  3. 55 与 R 的 H-1 有耦合关系,可确定  $\delta$  3. 55 为 R 的 H-2  $\delta$  3. 71 与 R 的 H-2 有耦合关系,可确定  $\delta$  3. 55 为 R 的 H-3 有 R 的 H-4 有耦合关系,可确定  $\delta$  3. 71 为 R 的 H-3 有 R 的 H-4 有耦合关系,可确定  $\delta$  3. 74 为 R 的 H-5。依据 HSQC 谱(图 5),可确定  $\delta$  4. 03 为葡萄糖残基 A 的 H-6  $\delta$  3. 76 为葡萄糖残基 R 的 H-6  $\delta$  3. 88 为葡萄糖残基(B-G)的 H-6。在 H-NMR 谱中葡萄糖残基(A-G)与葡萄糖残基 R 的有些氢的信号发生重叠。全部 H-NMR 信号归属见表 1。

2. 4. 3 HSQC 谱 在 HSQC 谱中 ,根据糖残基的质子信号可以归属与之相连的碳信号 ,同理依据碳信号也可以归属与之相连的氢信号 ,氢信号归属见表 1。

表 1 Glu-β-CD 在  $D_2O$  中氢谱的化学位移(  $\times 10^6$  ) Tab. 1  $^1$  H-NMR chemical shift of Glu-β-CD in  $D_2O(\times 10^6$  )

位置	H-1	H-2	H-3	H-4	H-5	H-6		
A-G	5.06 (d)	3. 65 ( m )	3.96 (t)	3. 55 ( m )*	3.87 ( m )*			
A						4. 03 ( d )		
B-G						3.88 ( m )*		
R	4.94 (d)	3. 55 ( m )*	3.71 (d)	3.43 (t)	3.74 (d)	3.76 (d)		
나이, NAN 주요 CO								

标记(\*)的为重叠信号。

2. 4. 4  $^{13}$  C-NMR 谱 在 $^{13}$  C-NMR 谱 (见图 5 )中,葡萄糖残基 R1、R4、A6 比较容易辨认,因为它们的化学位移与其他碳相差较大。根据葡萄糖残基(A-G)和 R 的异头碳 C-1 的化学位移,也可以确定化合物中所有的葡萄糖残基都是  $\alpha$  构型。结合 HSQC 谱,对 $^{13}$  C-NMR 谱的归属见表 2。

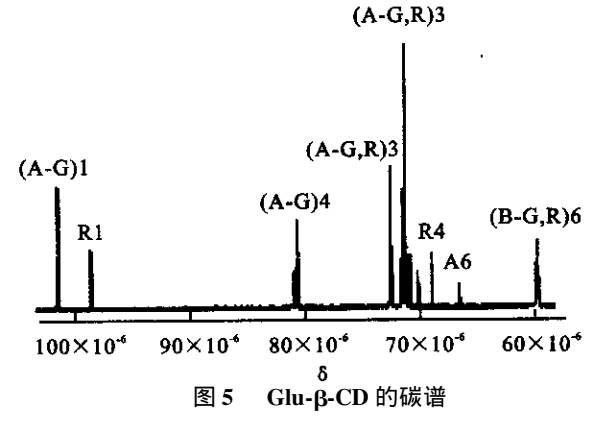


Fig. 5 <sup>13</sup>C-NMR spectrum of Glu-β-CD

**2.4.5** HMBC 谱 HMBC 谱中,葡萄糖残基(A-G)的 δ<sub>H</sub> 5.06(H-1)和 δ<sub>C</sub> 80.82(C-4)(A-G)的

表 2 Glu-β-CD 在 D<sub>2</sub>O 中碳谱的化学位移(×10<sup>6</sup>)
Tab. 2 <sup>13</sup>C NMR chemical shift of Glu-β-CD in D<sub>2</sub>O(×10<sup>6</sup>)

位置	C-1	C-2	C-3	C-4	C-5	C-6
A-G	101. 35	71. 58	72. 51	80. 82	71. 41	
A						66. 62
B-G						59. 82
R	98. 54	70. 91	72. 51	69. 01	71. 41	59. 82

 $\delta_c$  101. 35( C-1 )和  $\delta_H$  3. 55( H-4 )以及葡萄糖残基 A 的  $\delta_c$  66. 62 ( C-6 )和葡萄糖残基 R 的  $\delta_H$ 4. 94( H-1 ) 有耦合峰。表明葡萄糖残基 A-G 之间的某一个糖残基的 C-1 与另外一个糖残基的 H-4 是相连的 ,同时糖残基 A-G 之间的某一个糖残基的 C-4 与另外一个糖残基的 H-1 是相连的。这与 Glu-β-CD 的结构中吡喃葡萄糖环以  $\alpha$ -1  $\beta$  糖苷键的方式首尾连接成环糊精相符。葡萄糖残基 A 的  $\delta_c$  66. 62( C-6 )和 R 的  $\delta_H$  4. 94( H-1 )的耦合峰表明,葡萄糖残基 A 的 C-6 与 R 的 H-1 是相连的,这与 Glu-β-CD 结构中葡萄糖残基 A 和 H 之间的  $\alpha$ -1  $\beta$  糖苷键的连接方式相符。

# 参考文献(References):

- [ 1 ] KOIZUMI K , UTAMARA T , SATO M , et al. Isolation and characterization of branched cyclodextrins [ J ]. Carbohydrate Res , 1986 ,153 55 67.
- [2] Koizumi K, Tanimoto T, Okada Y, et al. Isolation and characterization of three positional isomers of diglucosylcyclomaltoheptaose [J]. Carbohydrate Res, 1990, 201:125-134.
- [3] Tanimoto T, Sakaki T, Koizumi K. Preparation of 6<sup>1</sup>. 6<sup>2</sup>-, 6<sup>1</sup>. 6<sup>3</sup>-, 6<sup>1</sup>. 6<sup>4</sup>- and 6<sup>1</sup>. 6<sup>5</sup>-di-O-(-D-glucopyranosyl) cyclomalto-octaoses [J]. Carbohydrate Res, 1995, 267, 27 37.
- [4] Yasuko I , Tadashi N , Kenji K , et al. <sup>1</sup>H-NMR Spectra of branched-chain cyclomaltohexaoses (α-cyclodextrin ), J ]. Carbohydrate Res 2004 , 339 777 785.
- [5]宁永成. 有机化合物结构鉴定与有机波谱学[M]. 北京 科学出版社, 2000 27 217.
- [6]常建华,董绮功. 波谱原理及解析 M].北京 科学出版社,2001.
- [7] Watanabe N, Yamamoto K, Tsuzuki W, et al. A novel method to produce branched α-cyclodextrins :pullulanase-glucoamylase-mixed method J]. Journal of Fermentation and Bioengineering ,1997 83(1) 43 47.
- [8] Abe J "Mizowaki N , Hizukuri S. Synthesis of branched cyclomalto-oligosaccharides using *Pseudomonas isoamylase*[J]. Carbohydrate Research , 1986 ,154 81 92.

(责任编辑:朱明)